

Le Mésolithique ancien de l'abri de La Fru (Savoie), industrie et paléoenvironnement

Autor(en): **Pion, Gilbert**

Objektyp: **Article**

Zeitschrift: **Cahiers d'archéologie romande**

Band (Jahr): **81 (2000)**

PDF erstellt am: **16.08.2024**

Persistenter Link: <https://doi.org/10.5169/seals-835974>

Nutzungsbedingungen

Die ETH-Bibliothek ist Anbieterin der digitalisierten Zeitschriften. Sie besitzt keine Urheberrechte an den Inhalten der Zeitschriften. Die Rechte liegen in der Regel bei den Herausgebern.

Die auf der Plattform e-periodica veröffentlichten Dokumente stehen für nicht-kommerzielle Zwecke in Lehre und Forschung sowie für die private Nutzung frei zur Verfügung. Einzelne Dateien oder Ausdrucke aus diesem Angebot können zusammen mit diesen Nutzungsbedingungen und den korrekten Herkunftsbezeichnungen weitergegeben werden.

Das Veröffentlichen von Bildern in Print- und Online-Publikationen ist nur mit vorheriger Genehmigung der Rechteinhaber erlaubt. Die systematische Speicherung von Teilen des elektronischen Angebots auf anderen Servern bedarf ebenfalls des schriftlichen Einverständnisses der Rechteinhaber.

Haftungsausschluss

Alle Angaben erfolgen ohne Gewähr für Vollständigkeit oder Richtigkeit. Es wird keine Haftung übernommen für Schäden durch die Verwendung von Informationen aus diesem Online-Angebot oder durch das Fehlen von Informationen. Dies gilt auch für Inhalte Dritter, die über dieses Angebot zugänglich sind.

Le Mésolithique ancien de l'abri de La Fru (Savoie), industrie et paléoenvironnement

Gilbert Pion

Résumé

La détection des microlithes géométriques dans les niveaux d'occupations humaines des couches 1 b de l'aire I et 4c de l'aire III suggère la présence d'un mésolithique ancien daté, pour cette phase la plus ancienne et selon les données du radiocarbone et de la palynologie dans la période biozonique du Dryas récent. Chacun de ces deux niveaux repose sur un azilien récent daté de la fin de l'Alleröd (couche 2 de l'aire I et couche 5 de l'aire III) dont

l'industrie dominée par les grattoirs et pointes à dos ne contient aucun microlithe géométrique. Si on admet sans restriction que la présence de microlithes géométriques dans des niveaux d'occupations humaines de la fin du tardiglaciaire annonce la culture mésolithique, nous avons à La Fru et dans l'état actuel des connaissances concernant les Alpes du Nord françaises, la première manifestation d'un Mésolithique qui fait déjà son apparition dans le Dryas récent.

Ensembles typologiques	Aire I couche 4 c	Aire III couche 1 b
Total outils identifiés	91	119
1. Ensemble des pièces microlithiques		
Total microlithes entiers	33	41
Total fragments de microlithes	25	35
Total microburins	29	34
Triangle scalène long	0	1
Triangle scalène court	8	17
Triangle isocèle	4	8
Segment	3	2
Micropointe à dos	1	2
Lamelles à dos microlithique	9	7
2. Statistiques sur l'ensemble industriel microlithique		
Taux microlithes / total des outils	54.9 %	62.6 %
Taux microlithes géométriques / total microlithes entiers	45.4 %	68.3 %
Taux triangles scalènes / total microlithes entiers	24.2 %	43.9 %
Taux triangles isocèles / total microlithes entiers	12.1 %	19.5 %
Taux segments / total microlithes entiers	9.1 %	4.9 %
Taux micropointes à dos / total microlithes entiers	3.0 %	4.9 %
Taux lamelles à dos microlithiques / microlithes entiers	27.3 %	17.1 %
3. Ensemble des outils du fonds commun		
Total outils du fonds commun	41	43
Taux outils du fonds commun / total outils (chaque outil exprimé en % / total outils du fonds commun)	45.1 %	37.3 %
Grattoir	8 19.6 %	10 23.2 %
Burin	2 4.9 %	3 7.0 %
Perçoir (microperçoir)	1 2.4 %	1 2.3 %
Pièce à coche	2 4.9 %	1 2.3 %
Pièce tronquées	4 9.8 %	6 14.0 %
Lame retouchée	1 2.4 %	2 4.7 %
Eclat retouché	9 22.0 %	10 23.2 %
Pièce à dos, hors pointe à dos	0	2 4.7 %
Lame à dos	1 2.4 %	1 1.3 %
Pointe à dos	3 7.3 %	2 4.7 %
Lamelles à dos non microlithique	10 24.4 %	5 11.6 %

Fig.1. Mésolithique ancien de La Fru (Savoie) Décomptes par ensembles typologiques.

Les critères pertinents de l'industrie lithique de ce mésolithique ancien (fig. 1 à 4)

La figure 1 propose les principaux décomptes typologiques à partir d'échantillons relativement modestes mais qui révèlent d'une façon significative le *style* de cette industrie. L'examen typologique de l'ensemble des 74 microlithes entiers et des 84 outils du fonds commun reconnus dans les couches 1 b de l'aire I et 4 c de l'aire III caractérise ce mésolithique ancien.

En effet et en premier lieu, c'est l'identification des microlithes géométriques (45% en 4c et 62% en 1b par rapport au total des microlithes) et leur morphologie (triangles scalènes et isocèles) qui signe par l'intermédiaire de ces indicateurs typologiques, le caractère mésolithique de ces occupations humaines. Les triangles scalènes et isocèles sont issus de supports petites lames ou lamelles que l'on retrouve dans le débitage associés à des nucléus à petites lames ou lamelles. De plus, la présence de microburins en quantité significative précise la technique de fabrication re-

tenue pour l'obtention de ces armatures. On observe également l'existence de segments mais en très faible quantité.

En second lieu il faut signaler l'identification des premières micropointes à un seul bord abattu et appointées par retouches bilatérales mais en faible quantité par rapport aux total des microlithes (3 et 5%). Ces micropointes que l'on retrouvera d'une façon beaucoup plus significative dans les niveaux supérieurs (surtout en c 4a, c 3 et c 2, fig. 4) correspondent probablement à la forme diminutive des pointes à bord abattu azilienne repérées en grande quantité dans l'azilien récent des niveaux sous-jacents (couche 2 à l'aire I et couche 5 à l'aire III) mais qui existent encore, malgré leur petit nombre, dans les outils du fonds commun de ces deux niveaux du mésolithique ancien (4c et 1b, fig. 1).

Enfin nous retiendrons aussi de cet ensemble microlithique la présence significative des lamelles à bord abattu, très rares dans les niveaux aziliens sous-jacents, et qui ajoutées à celles nettement moins microlithiques (classées dans les outils du fonds

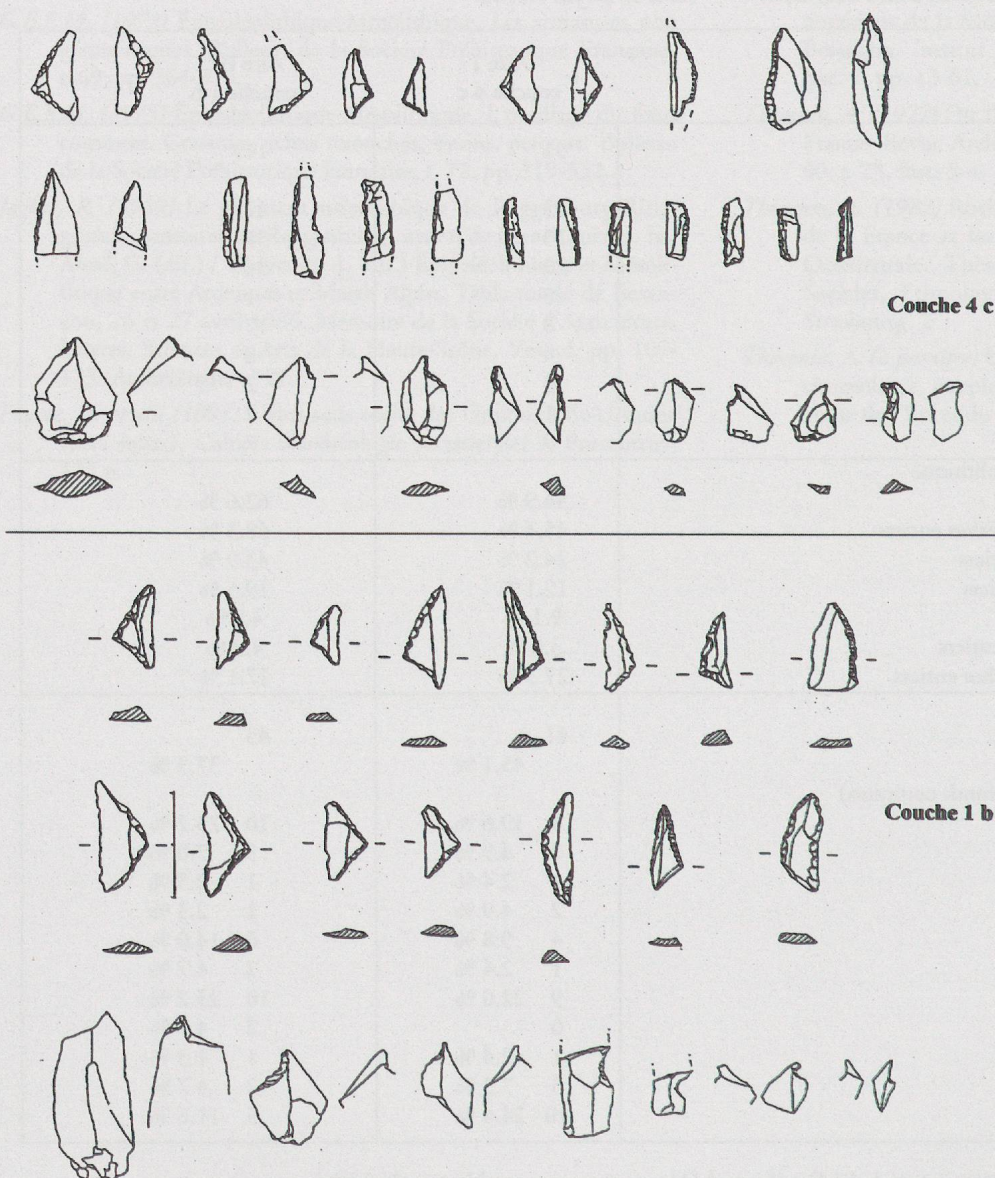


Fig. 2. La Fru. Planche équilibrée concernant les microlithes géométriques et non géométriques du mésolithique ancien phase ancienne des couches 1b de l'aire I et 4c de l'aire III. Echelle 2/3.

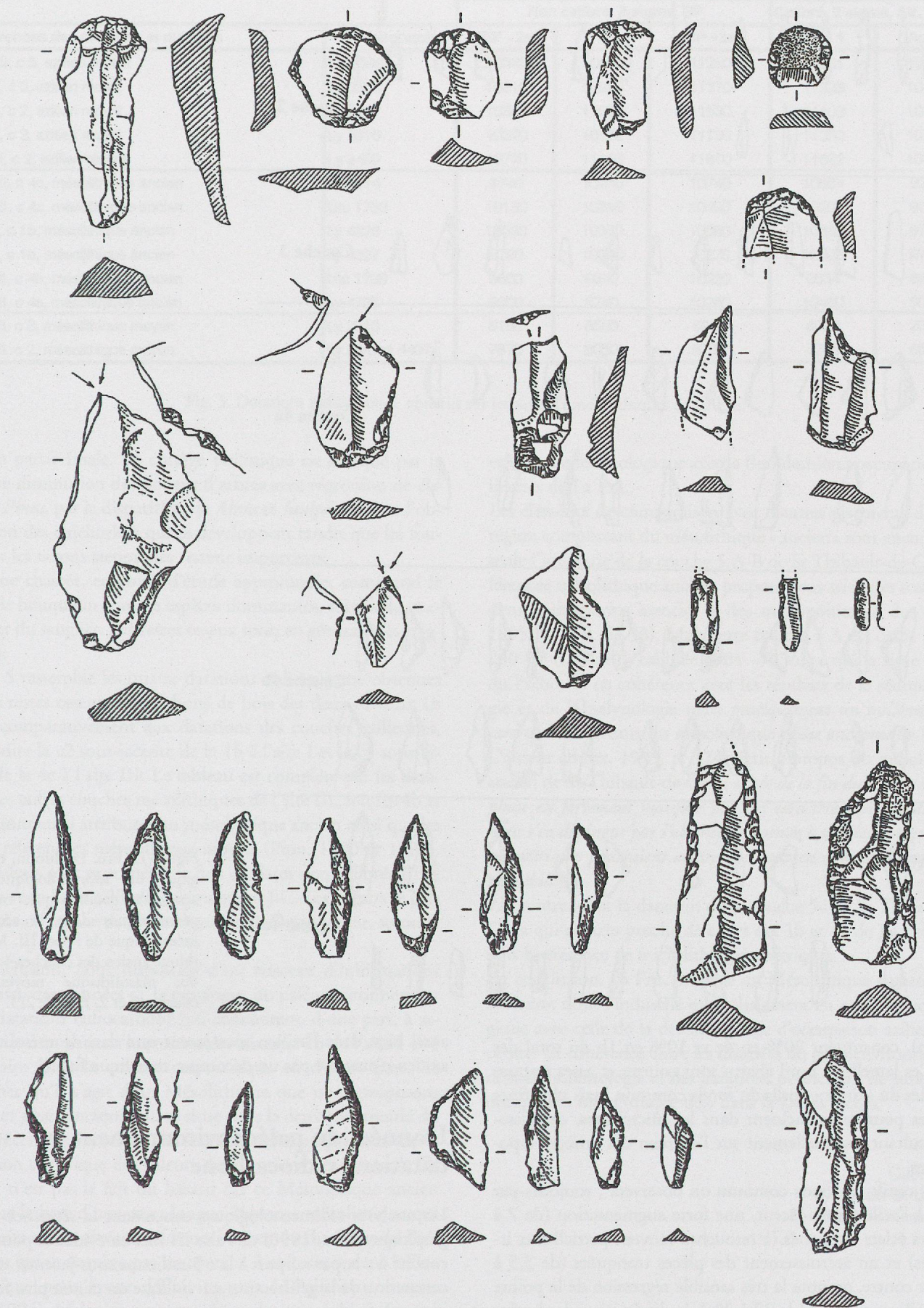


Fig. 3. La Fru. Planche équilibrée de l'Azilien récent de la couche 5 de l'aire III. Echelle 1/1.

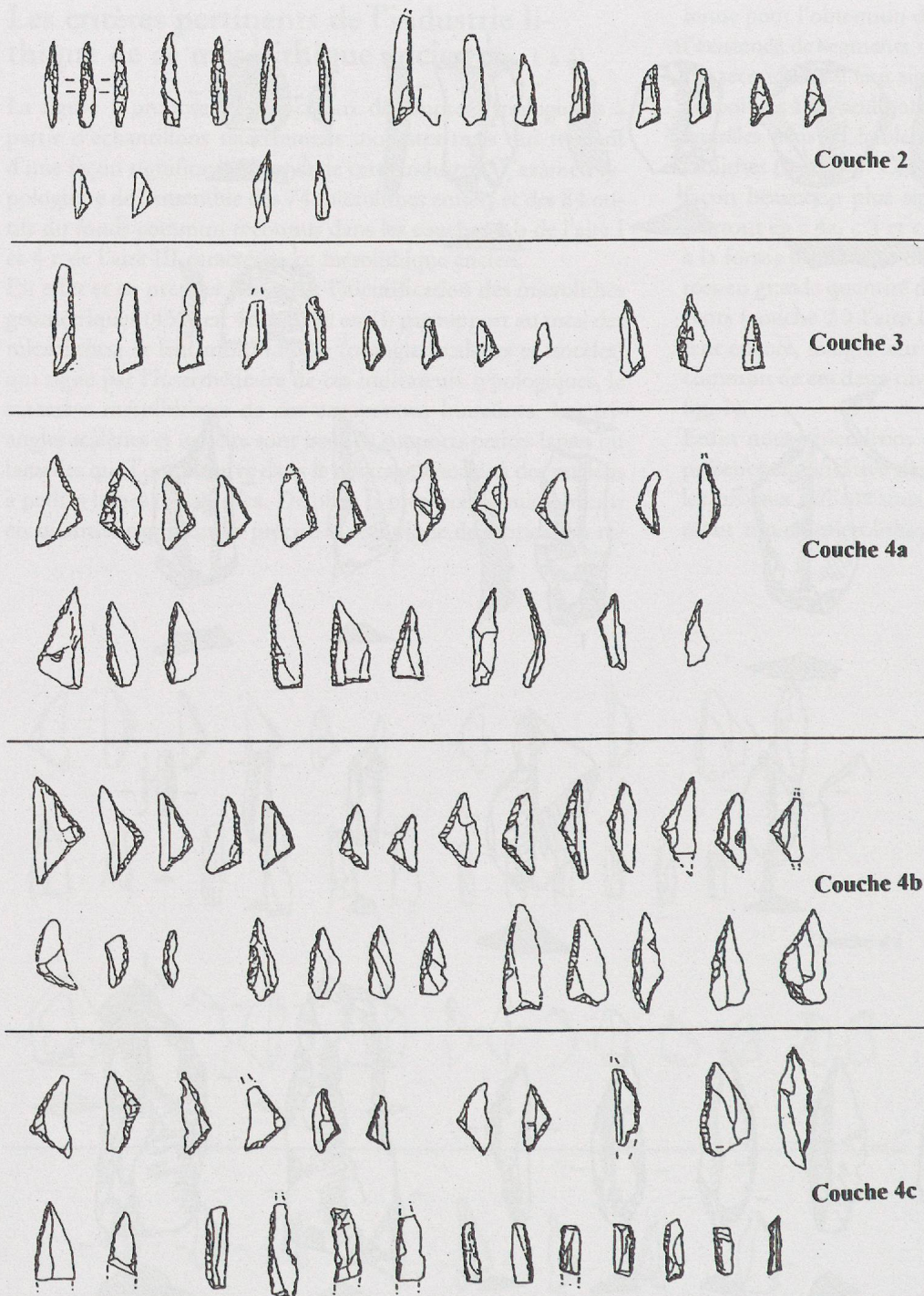


Fig. 4. La Fru. Evolution, typologique ou morphologique, des armatures géométriques ou non géométriques dans la séquence mésolithique de l'Aire III. Mésolithique ancien des couches 4c, 4a et 4b; mésolithique moyen des couches 3 et 2. Echelle 2/3.

commun), constituent 20% en 4c et 10% en 1b du total des outils. Ces lamelles à bord abattu sont courtes et assez trapues pour celles du « tiroir » outils du fonds commun mais plus fines et minces pour celles incluent dans les microlithes, ce classement résultant essentiellement sur l'examen des critères typométriques.

Dans les outils du fonds commun on observera, toujours par rapport à l'azilien sous-jacent, une forte augmentation (de 7 à 22%) des éclats retouchés (à retouches souvent partielles et irrégulières) et un accroissement des pièces tronquées (de 3,5 à 9%). Par contre, on note la très sensible régression de la pointe à dos « azilienne » vraie (de 32 à 3%), la diminution des burins (de 8 à 2%) et celle des pièces tronquées (de 12 à 5%). Pour les autres outils du fonds commun, leur très faible représentation

aussi bien dans l'azilien sous-jacent que dans le mésolithique ancien n'autorise pas un décompte statistique fiable.

Données du paléoenvironnement et datations radiocarbone

Les analyses sédimentologiques concernant la séquence stratigraphique (Pion, 1990) de l'aire III met en évidence pour cette couche 4c et par rapport à la c 5 azilienne sous-jacente, une accentuation de la gélifraction qui indique un climat plus froid et encore humide.

Les spectres polliniques comparés à ceux de la couche 5 (azilienne) confirment l'attribution de la couche 4c au Dryas récent

Références des couches et cultures	Réf laboratoire	Non calibré, 2 sigma, BP			Calibré, 2 sigma, AV. JC	
		BP - 2s	X	BP +2s	Age 1	Age 2
Aire III, c 5, azilien récent	LY 3596	10340	10800	11260	11231	10238
Aire I, c 2, azilien récent	Ly 3594	10610	10990	11370	11523	10487
Aire I, c 2, azilien récent	Ly 2917	10530	11030	11530	11103	10277
Aire I, c 2, azilien récent	Ly 2916	10370	10750	11130	11350	10750
Aire II, c 2, azilien récent	Ly 2499	10770	11190	11610	11622	10735
Aire III, c 4c, mésolithique ancien	Ly 2914	9740	10240	10740	10664	9277
Aire III, c 4c, mésolithique ancien	Utc 1736	10130	10310	10490	10206	9036
Aire I, c 1b, mésolithique ancien	Ly 4326	10060	10360	10660	10845	8725
Aire I, c 1b, mésolithique ancien	Ly 4327	9790	10030	10270	10503	9709
Aire III, c 4b, mésolithique ancien	Utc 1735	9660	9840	10020	9534	8939
Aire III, c 4a, mésolithique ancien	Ly 4328	9200	9740	10280	10460	8029
Aire III, c 3, mésolithique moyen	Ly 2913	8180	8580	8980	8026	7091
Aire III, c 2, mésolithique moyen	Ly 28/Oxa 4407	7870	8050	8230	7265	6617

Fig. 5. Datations radiocarbone obtenus sur les niveaux mésolithiques de La Fru.

dans sa partie finale. Le cortège pollinique est marqué par la brusque diminution des pollens d'arbres avec régression de *Betula* et *Pinus*, par la disparition de *Alnus* et *Juniperus* et par l'observation des chichoriées qui se développent tandis que les fougères et les taxons steppiques restent importants.

La faune chassée, en cours d'étude approfondie, comprend le cerf et le bouquetin comme espèces dominantes, suivies du chevreuil et du sanglier. Les restes osseux sont, en général, très fragmentés.

La fig. 5 rassemble les quatre datations radiocarbone obtenues sur des restes osseux ou charbons de bois des deux niveaux 1b et 4c, comparativement aux datations des couches aziliennes, c'est-à-dire la c2 sous-jacente de la 1b à l'aire I et la c5 sous-jacente de la 4c à l'aire III. Le tableau est complété par les datations des autres couches mésolithiques de l'aire III, soit les 4b et 4a qui sont aussi attribuées au mésolithique ancien ainsi que les 3 et 2 référencées mésolithique moyen (Pion, 1990 et 1994). Les résultats sont exprimés à la fois en dates non calibrés BP \pm 2 sigma et en dates calibrés 2 sigma avant J.C. Les valeurs se placent dans un espace temps attribuable au Dryas récent, seconde moitié.

En conclusion, nous disposons d'un faisceau d'informations fiables issu des données de la typologie, du paléoenvironnement et des datations radiocarbone qui concourent, d'une part, à attribuer les occupations humaines des niveaux 1b de l'aire I et 4c de l'aire III à la culture mésolithique et, d'autre part, de confirmer qu'il s'agit d'un Mésolithique que nous proposons d'appeler *phase ancienne* qui se situe dans la deuxième moitié du Dryas récent en mordant sur le Préboréal (compte tenu de la dispersion statistique des valeurs des datations isotopiques). Ce résultat n'est pas le fait du hasard car ce Mésolithique ancien constitue la base d'une assez longue séquence mésolithique qui porte deux autres niveaux référencés 4b et 4a du début du Préboréal et qui se termine par les niveaux 3 et 2 situés dans le Boréal et que nous avons définis comme Mésolithique moyen (Pion, 1994). Malgré la présence de quelques pointes à dos qui sont morphologiquement assez proches de celles du niveau azilien sous-jacent, ce mésolithique *phase ancienne* nous apparaît

en rupture technologique avec la (les) dernières occupations aziliennes de La Fru.

Les éléments de comparaison avec d'autres gisements de notre région comportant du mésolithique « ancien » sont encore rares, seule l'industrie de la couche 5 A-B de St Thibault-de-Couz référencée mésolithique ancien, propose deux triangles scalènes et deux microburins associés à des micropointes à dos (Bintz, 1995, p. 235, fig 53). Mais cette couche 5 A est datée 9050 \pm 260 BP (Ly 428), calibrée 8901 - 7536, ce qui la situe à la fin du Préboréal en cohérence avec les résultats de la sédimentologie et de la palynologie mais *pratiquement un millénaire plus tard* que les niveaux du mésolithique *phase ancienne* de La Fru. L'auteur (Bintz, 1995, p. 174) écrit à propos du mésolithique ancien de St Thibault-de-Couz *datée de la fin du Préboréal, cette phase est fortement marquée par des caractères épipaléolithiques, mais s'en distingue par l'absence de pointes à dos; les quelques rares géométriques pourraient attester des contacts avec des groupes déjà mésothilisés.*

Par contre, c'est la datation de la couche 5c de St Thibault-de-Couz qui est très proche de celles des 1b et 4c de La Fru, mais sans la présence de microlithes géométriques.

En conclusion, La Fru, propose un Mésolithique ancien, *phase ancienne*, dont l'industrie est globalement en rupture technologique avec celle de la dernière phase d'occupation azilienne de ce site. La cohérence entre les données du paléoenvironnement, de la sédimentologie et des datations permettent de situer cette occupation mésolithique déjà dans le Dryas récent.

Gilbert Pion
895, route de la Bathie
F - 73230 St-Alban-Leyse

Bibliographie

- Bintz, P.* (dir.) (1995) Les grottes Jean-Pierre 1 et 2 à St-Thibault-de-Couz (Savoie), seconde partie. *Gallia Préhistoire*, 37, pp. 155-328.
- Pion, G.* (dir.) avec la coll. de Billard, M., Bintz, P., Caillat, B., Cataliotti-Valdina, J., Durand, J.-M., Girard, M., Monjuvent, G. (1990) L'abri de La Fru à St-Christophe-la-Grotte (Savoie), *Gallia Préhistoire*, 32, pp. 65-123.
- Pion, G.* (1994) La séquence mésolithique de l'aire III de l'abri de La Fru en Savoie. Situation chrono-industrielle et paléoenvironnementale. Actes de la Table Ronde de Chambéry, 26-27 sept. 1992, Assoc. Départ. Archéol. Savoie, pp. 185-197.